

تحلیل عددی کوله خاک مسلح تحت بارگذاری استاتیکی و دینامیکی

رامین رئیسی^۱، مسعود اوی پور^۲، مهدی جهانی^۳

۱- دانشجوی کارشناسی ارشد مکانیک خاک و پی دانشگاه شهید چمران اهواز

۲- استادیار گروه مهندسی عمران دانشگاه شهید چمران اهواز

۳- دانشجوی کارشناسی ارشد مکانیک خاک و پی دانشگاه شهید چمران اهواز

⋮

Raisi.ramin@yahoo.com

خلاصه

ژئوگرید ها از جنس پلیمر بوده و به عنوان یک لایه سخت کننده در خاک به کار برده می شوند و منجر به افزایش ظرفیت باربری و کاهش جابه جایی جانبی دیوار می گردد. مطالعات نشان می دهد فصله لبه پی نواری قرار گرفته در بالای کوله تا نما ، نوع پی و سختی ژئوگرید ها در توزیع فشار جانبی خاک و جابه جایی جانبی دیوار موثر است. در مطالعه پیش رو تحلیل^۳ بعدی توسط نرم افزار ۱-11.6.11Abaqus به کمک مدل رفتاری Cap plasticity و به صورت استاتیکی و دینامیکی انجام شد.

کلمات کلیدی: ژئوگرید، فشار جانبی خاک، کوله، استاتیکی، دینامیکی

۱. مقدمه

یکی از کاربردهای کاملاً جدید سیستم های خاک مسلح ، کاربرد آن به عنوان سازه باربر (کوله) برای تحمل بارهای وارد بر پل ها و انتقال بار به خاک بستر می باشد. وقتی از دیوارهای خاک مسلح به عنوان کوله پل استفاده می شود، علاوه بر نیروهای افقی رانش خاک، بارهای افقی و قائم ناشی از عرضه پل و نیز بارهای جاده دسترسی به بلوك خاک مسلح وارد می شود. در ابتدا هنری ویدال تشخیص داد که افزایش سربارهای قائم روی دیوارهای خاک مسلح باعث بسیج مؤثرتر مقاومت داخلی خاک مسلح می شود . بنابراین کاربرد خاک مسلح در کوله پل به عنوان یک استفاده منطقی از آن مطرح گردید.

در کوله ها ابتدایی بار اصلی عرضه توسط شمع های مجاور کوله به زمین منتقل می گردید. در کوله های خاک مسلح نیاز بر این بود که وزن عرضه بر روی شمع های بتنی قرار گرفته و ارتباط عرضه با کوله با دال میسر شود . با پیشرفت دانش در این موضوع به تدریج ایده استقرار عرضه بر روی کوله و حذف پایه های بتنی نیز شکل گرفت و نمونه های اندکی از آن نیز در دنیا اجرا شده است.

۲. مدل سازی عددی

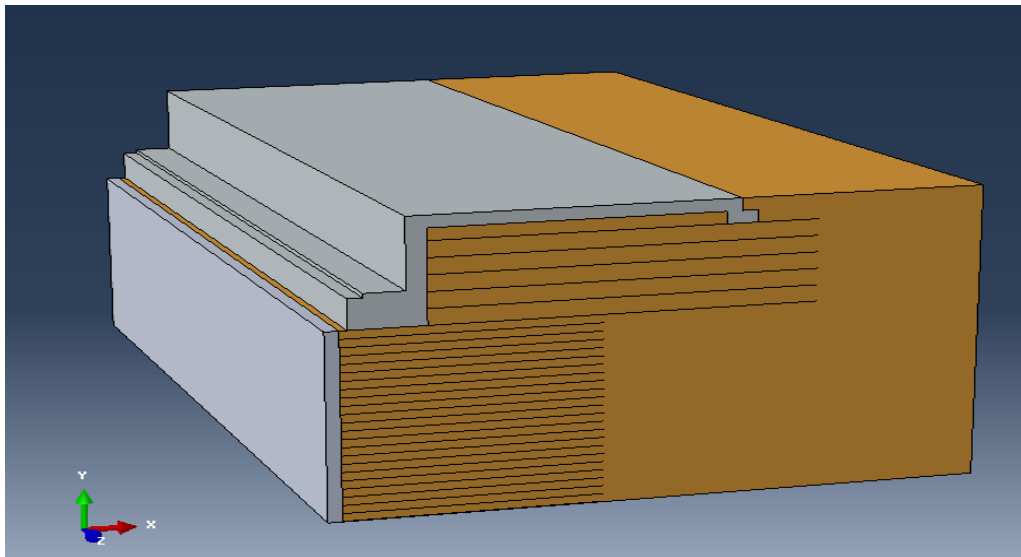
به منظور تحلیل عددی کوله خاک مسلح از نرم افزار المان محدود آباکوس-V6.11-1 و به صورت 3D استفاده شده است. اندر کش میان سطوح از نوع Surface to surface انتخاب شد. برای مش بندی خاک، دیوار نما و پی نواری از المان های C3D8R و برای ژئوگرید ها از المان M3D8R و نوع ممبرن استفاده شده است.

برای تحلیل استاتیکی از General Static و برای تحلیل دینامیکی از Explicit Dynamic و شتاب نگاشت زلزله طبس استفاده شده است.

^۱ دانشجوی کارشناسی ارشد مکانیک خاک و پی دانشگاه شهید چمران اهواز

^۲ استادیار گروه مهندسی عمران دانشگاه شهید چمران اهواز

^۳ دانشجوی کارشناسی ارشد مکانیک خاک و پی دانشگاه شهید چمران اهواز



شکل ۱ - شماتیک مدل سازی در آباکوس

در مدل سازی از خاک دانه ای بدون چسبندگی ($C=0$) با نوع رفتار Cap plasticity مدل شده است. پارامتر های مربوط به مدل Cap Plasticity در جدول شماره ۱ آورده شده است.

جدول ۱ - پارامتر های مدل Cap Plasticity

Φ	$\alpha(\text{kpa})$	θ	R	D(kpa)-1	W	X0(kpa)
۳۴	۰	.۲۶۴	۴	.۰۰۰۰۰۷۲۵	۲.۵	۲۰۰

برای مدل سازی ژئوگرید، پی و دیوار نما از رفتار الاستو پلاستیک استفاده شد و پارامتر های مربوط به آن در جدول ۲ آمده است.

جدول ۲ - مشخصات ژئوگرید و پی نواری

E(KN/m)	مدول الاستیسیته	ضریب پواسون
ژئوگرید	۵۳۰	.۳
پی، بلوک نما، و دال دسترنسی	۱۳۸۰۰۰۰	.۲۱

اولین کنفرانس ملی مهندسی ژئوتکنیک ایران
دانشکده فنی و مهندسی دانشگاه محقق اردبیلی
۱۳۹۲ مهر و ۱ آبان ماه

با در نظر گرفتن پارامترهای جدول زیر به عنوان داده ورودی به نرم افزار تحلیل انجام شد.

جدول ۳- پارامترهای هندسی

S (cm)	Clear (cm)	Et (KN/m)	b(m)	B(m)
۲۰	۱۵	۵۳۰	۵	۱.۵

S فاصله ژئوگریدها، Clear فاصله لبه پی تا نما، b عرض ژئوگرید، B عرض پی

۳. مدل اصلاح شده دراکر-پراگر / کلاهک

مدل خمیری دراکر-پراگر / کلاهک به طور گسترده‌ای در برنامه‌های تحلیل اجزا محدود برای انواع مختلف کارهای مهندسی ژئوتکنیک استفاده شده است. مدل کلامک برای رفتار خاک مناسب می‌باشد چرا که قابلیت در نظر گرفتن اثر تاریخچه تنش، مسیر تنش، اتساع و اثر تنش اصلی متوسط را دارد. سطح تسیلیم مدل خمیری اصلاح شده دراکر-پراگر / کلاهک شامل سه بخش است: سطح گسیختگی برشی دراکر-پراگر، کلاهک بیضی شکل، که با زاویه قائمه محور تنش موثر متوسط را قطع می‌کند و یک ناحیه انتقال ملایم بین سطح گسیختگی برشی و کلاهک، چنانکه در شکل (۲) مشان داده شده است.

رفتار ارتجاعی، به صورت ارتجاعی خطی و با استفاده از قانون تعیین یافته هوک مدل می‌شود. به صورتی دیگر، یک مدل ارتجاعی که در آن سخت ارتجاعی حجمی همچنانکه ماده متحمل فشار می‌شود، می‌تواند به منظور محاسبه کرنش‌های ارتجاعی استفاده شود

معیار شکست مدل Cap از نوع دراکر-پراگر است

$$f_1 = \theta J_1 - \sqrt{J_{2D}} + \alpha$$

J1 نامنیز اول تانسور تنش موثر، J2D نامنیز دوم تانسور تنش انحرافی، θ و α ثابت‌های مربوط به زاویه اصطکاک و چسبندگی خاک هستند.

$$\theta = \frac{2 \sin \phi}{\sqrt{3}(3 - \sin \phi)}$$

$$\alpha = \frac{6 c \cos \phi}{\sqrt{3}(3 - \sin \phi)}$$

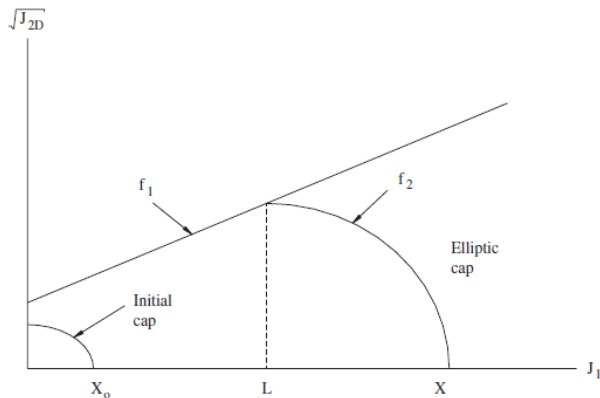
تابع کلاهک بیضی شکل به صورت زیر است

$$f_2 = (J_1 - L)^2 + R^2 J_{2D} - (X - L)^2 = 0$$

R نسبت محور اصلی به فرعی بیضی است، X و L به ترتیب محل تقاطع کلاهک با محور j1 و تابع تسیلیم دراکر-پراگر است. تابع سخت شوندگی به صورت زیر بیان می‌شود

$$X = -\frac{1}{D} \ln(1 - \frac{\epsilon_v^p}{W}) + X_0$$

D و W اعداد ثابت هستند و ϵ_v^p کرنش حجمی پلاستیک است.



شکل ۲ - مدل Cap

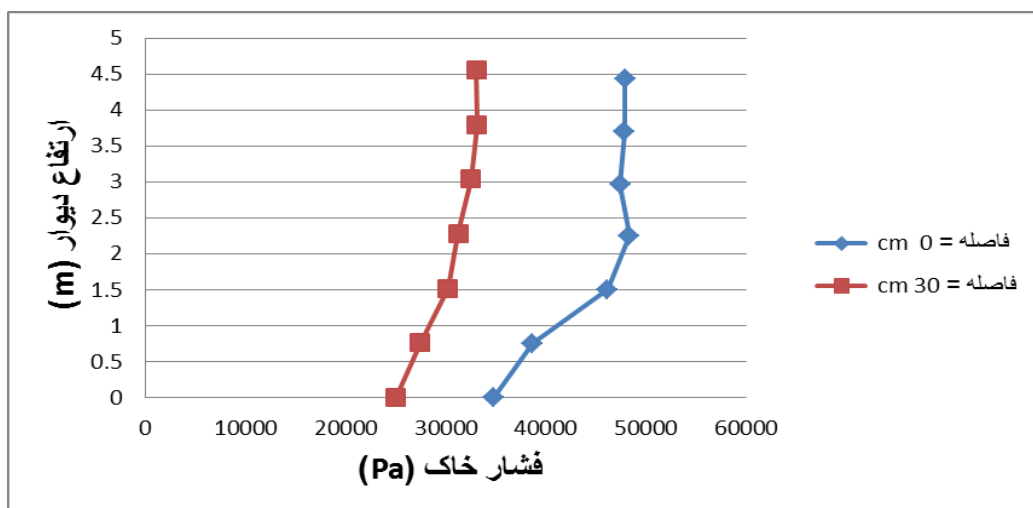
۴. شرایط مرزی و تکیه گاهی

تکیه گاههای مفصلی در دو جهت X و Z برای وجوده جانبی مدل در نظر گرفته شده است و از جایه جایی در راستای X و Z جلوگیری می‌شود. برای وجه انتهایی شرایط گیر داری فرض شد و جایه جایی و چرخش را در تمامی جهات X ، Y ، Z محدود شد. در حالت دینامیکی برای ممانعت کردن از انعکاس امواج مرزهای جاذب تعریف شد.

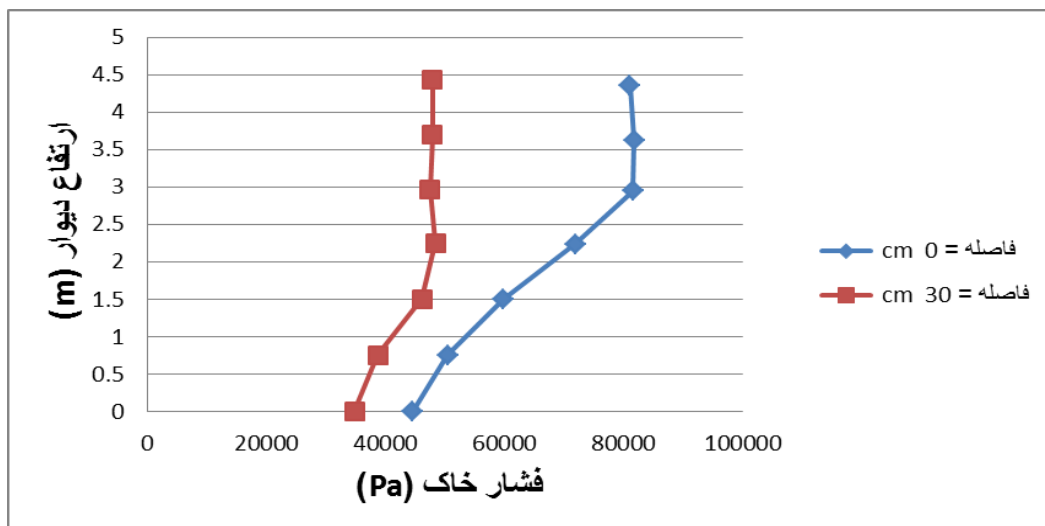
۵. تأثیر پارامترهای مختلف در کاهش فشار جانبی

۵-۱. تأثیر فاصله پی تا نما

یکی از پارامترهای تأثیرگذار در کوله‌ها فاصله لبه پی نواری تا نما است، اگر این فاصله کم باشد فشار خاک پشت دیوار زیاد می‌شود و اگر فاصله زیاد باشد طول شاهیر پل زیاد شده و غیر اقتصادی است. پی نواری را در دو فاصله ۰ و ۳۰ از دیوار نما قرار داده شد. در هر دو حالت استاتیکی و دینامیکی با افزایش فاصله فشار کمتری در خاک ایجاد می‌شود همچنین فشار ایجاد شده در حالت دینامیکی بیش از حالت استاتیکی است.



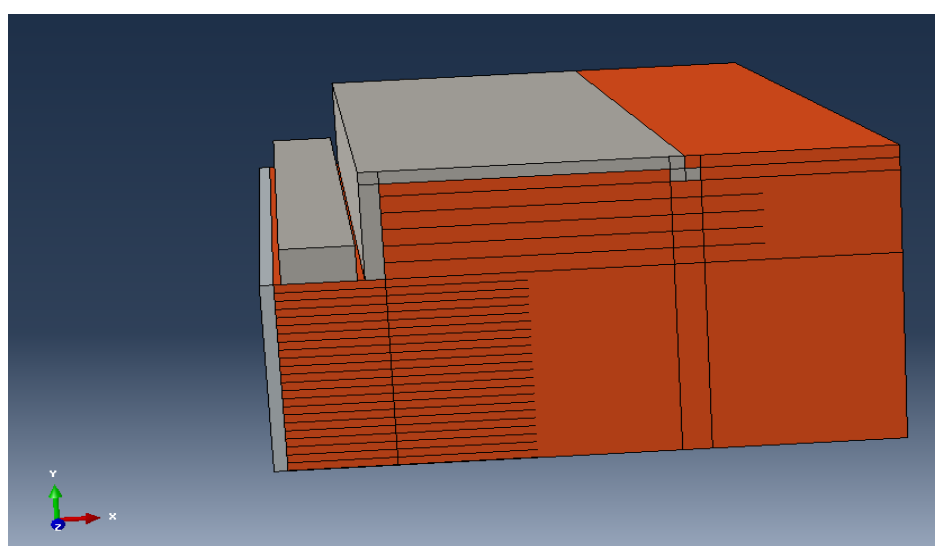
شکل ۳- تأثیر فاصله پی تا نما در نحوه توزیع فشار جانبی خاک در حالت استاتیکی



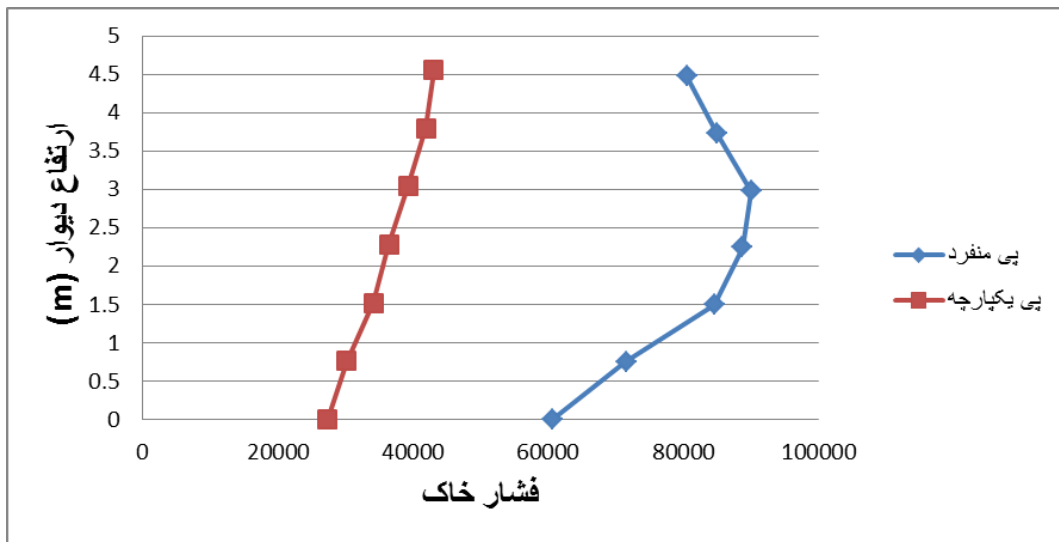
شکل ۴- تأثیر فاصله پی تا نما در نحوه توزیع فشار جانبی خاک در حالت دینامیکی

۲-۵. تأثیر نوع پی نوع پی

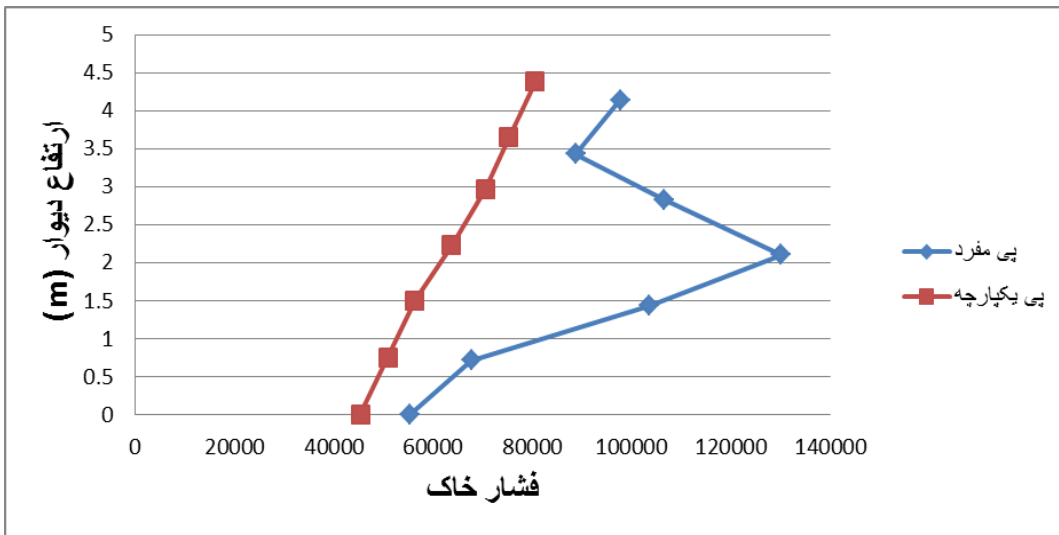
زمانیکه برای انتقال بار پل از پی در بالای کوله استفاده می شود دو نوع پی ممکن است استفاده گردد، ۱- پی منفرد ۲- پی یکپارچه . هر دو نوع پی با عرض ۱.۵ متر و مشخصات یکسان مدل شد.
 مطابق نتایج بدست آمده پی یکپارچه نسبت به پی منفرد عملکرد بهتری داشته و فشار کمتری در خاک ایجاد می گردد و نهایتا جایه جایی دیوار کمتر می شود همچنین میزان فشار ایجاد شده در حالت دینامیکی بیش از استاتیکی است.



شکل ۵- شماتیکی پی منفرد



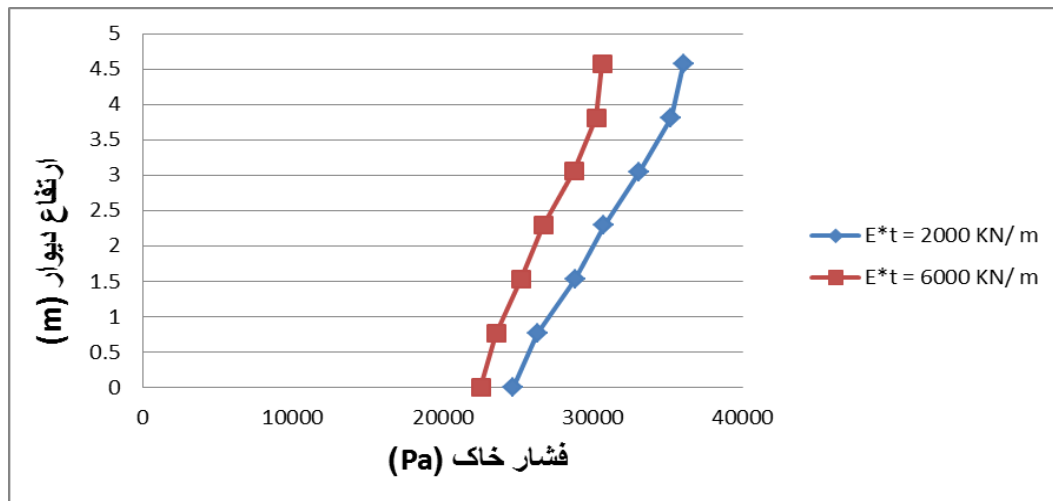
شکل ۶- تأثیر نوع پی در نحوه توزیع فشار جانبی خاک در حالت استاتیکی



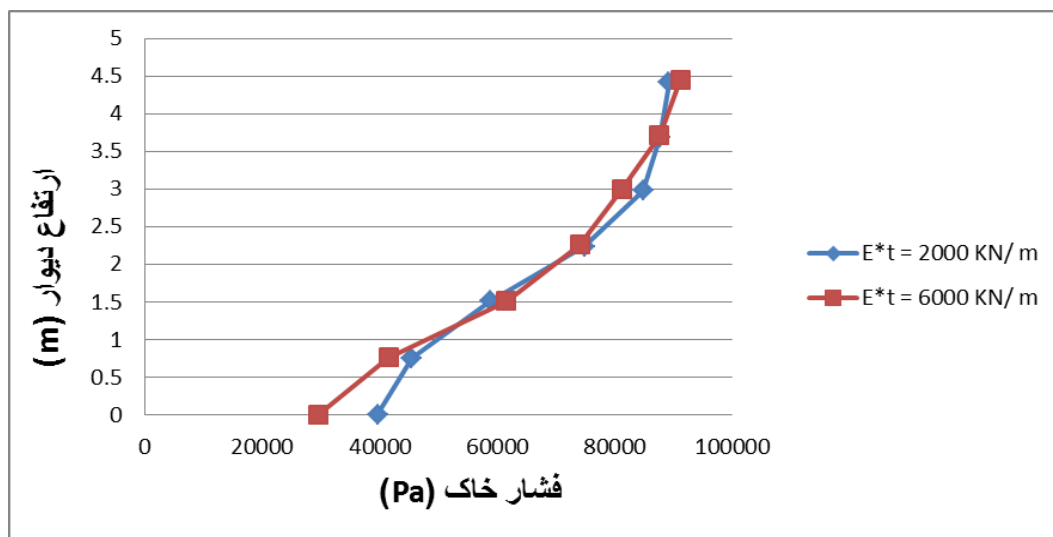
شکل ۷- تأثیر نوع پی در نحوه توزیع فشار جانبی خاک در حالت دینامیکی

۳-۵. تأثیر سختی ژئوگرید

امروزه ژئوستیک‌ها در انواع مختلف و با سختی‌های متفاوت تولید می‌شوند. هر چه مدل‌الاستیسه بیشتر شود انتظار کاهش فشار جابی خاک را داریم و در حالت استاتیکی این موضوع مشاهده می‌شود اما در حالت دینامیکی افزایش سختی در کاهش فشار تأثیر کمی دارد.



شکل ۸- تأثیر سختی ژئوگرید در نحوه توزیع فشار جانبی خاک در حالت استاتیکی



شکل ۹- تأثیر سختی ژئوگرید در نحوه توزیع فشار جانبی خاک در حالت دینامیکی

۶. نتیجه گیری

- با افزایش فاصله پی از نما فشار کاهش یافته و در نتیجه جایی دیوار نما کمتر می‌شود. آین نامه ها این فاصله را ۳۰ cm توصیه کرده‌اند.
- اجرای پی به صورت یکپارچه عملکرد بهتری از خود نشان داده و موجب کاهش فشار جانبی خاک در هر دو حالت استاتیکی و دینامیکی می‌گردد.
- افزایش سختی ژئوستیک‌ها در حالت استاتیکی موجب کاهش فشار جانبی خاک می‌گردد اما در حالت دینامیکی این کاهش فشار محسوس نیست.

اولین کنفرانس ملی مهندسی ژئوتکنیک ایران
دانشکده فنی و مهندسی دانشگاه محقق اردبیلی
۱۳۹۲ مهر و ۱ آبان ماه

.۷ مراجع

- 1- Jonathan T.H.Wu, "Mechanically stabilized backfill", University of Colorado, Denver, 1997
- 2-Jonathan T.H.Wu, Kevin Lee, Sam B. Helwany, Kanop Ketchart, "*Design and construction guidelines for geosynthetic reinforced soil bridge abutments with a flexible facing*", University of Colorado, Denver, 2005, NCHRP report 556
- 3-Jorge G. Zornberg, Naser Abu-Hejleh, Trevor Wang, "*Measuring the performance of geosynthetic reinforcement in a Colorado bridge structure*", 2001, GFR Magazine
- 4- Michael Adams, Jennifer Nicks, Tom Stabile, Jonathan Wu, Warren Schlatter, and Joseph Hartmann, "Geosynthetic reinforced soil integrated bridge system", Interim Implementation Guide, 2012, FHWA-HRT-11-026
- 5-Zevgolis I.P. L. Bourdeau, "Mechanically stabilized earth wall abutments for bridge support", 2007, FHWA/IN/JTRP-2006/38
- 6- John S. Horvath, Ph.D, P.E, "*Integral abutment bridges geotechnical problems and solutions using geosynthetics and ground improvement*", Manhattan College, Civil and environmental engineering department, 2005
- 7- Sam Helwany, "*Applied soil mechanics with ABAQUS applications*", New Jersey, 2007
- 8- Sanjay Kumar Shukla, Jian-Hua Yin, "Fundamentals of Geosynthetic Engineering", Department of Civil Engineering, Institute of Technology, Banaras Hindu University, Varanasi, India, 2006
- 9- Robert M . Koerner, "Designing With Geosynthetics", Drexel University, 2005
- 10- Chungsik Yoo*, Sun-Bin Kim, "Performance of a two-tier geosynthetic reinforced segmental retaining wall under a surcharge load: Full-scale load test and 3D finite element analysis", Department of Civil and Environmental Engineering, Sungkyunkwan University 2008